перестройкой структур с образованием равновесных парагенезисов (деформационной стадии эклогитизации) характеризуют разные этапы единого процесса преобразования пород. Дайки, внедрившиеся в зоны сдвига, испытали деформации еще до полной кристаллизации расплава; деформации, продолжавшиеся после кристаллизации расплавов, привели к эклогитизации пород. Чем интенсивнее были деформации —тем глубже прошла эклогитизация пород.

Породы комплекса коронитовых габбро в силу специфики их состава (железистости) преобразованы глубоко и равномерно, причем даже породам недеформированных даек свойственны равновесные метаморфические структуры. Поэтому они не столь информативны для расшифровки истории преобразований, как породы комплекса лерцолитов-габброноритов. Однако структурные особенности деформированных даек, указывающие на те же соотношения свойств базитов и вмещающих гнейсогранитов в ходе деформаций, что и для пород комплекса лерцолитов-габброноритов, свидетельствуют о той же истории их преобразований: до окончания кристаллизации пород внедрившихся даек произошла деформация не полностью раскристаллизованного расплава, затем его кристаллизация и эклогитизация.

Таким образом, эклогитизация базитов в зонах сдвига в центральной части Беломорского подвижного пояса проявилась, по-видимому, сразу же после внедрения даек обоих комплексов (лерцолитов-габброноритов и коронитовых габбро). Это свидетельствует либо о двух раннепротерозойских этапах эклогитизации, либо о длительном нахождении рассматриваемого фрагмента коры (на интервале, охватывающем время внедрения эклогитизированных даек обоих комплексов) в условиях, обеспечивших метаморфизм эклогитовой фации.

Работа выполнена при частичной поддержке гранта НШ-1413.2006.5 и Госконтракта № 02.445.11.7403, а также грантов РФФИ № 05-05-64177, 07-05-00100.

## Литература

- 1. Козловский В.М., Корпечков Д.И., Аранович Л.Я. Новые находки эклогитизированных базитов в Беломорском подвижном поясе и возможная интерпретация их генезиса // Фундаментальные проблемы геотектоники. Материалы XL Тектонического совещания. Том 1. М.: ГЕОС, 2007. С. 315–318.
- 2. Степанова А.В., Ларионов А.Н., Бибикова Е.В., Степанов В.С., Слабунов А.И. Раннепротерозойский (2.1 млрд. лет) Fe-толеитовый магматизм Беломорской провинции Балтийского щита: геохимия, геохронология // ДАН. Т.390. №4. 2003. С. 528–532.
- 3. Степанова А.В., Степанов В.С. Коронитовые габбро Беломорского подвижного пояса // Геология и полезные ископаемые Карелии. Вып.8. Петрозаводск: Кар НЦ РАН, 2005. С. 29–39.
- 4. *Смирнова В.С., Бабошин В.А.* Геологическое строение, метаморфизм и пегматитоносность архейских образований юго-западного Беломорья. М.: Недра, 1967. 247 с.
- 5. *Травин В.В., Козлова Н.Е.* Локальные сдвиговые деформации как причина эклогитизации (на примере структур Гридинской зоны меланжа, Беломорский подвижный пояс) // ДАН. 2005, Т. 405, № 3. С. 376–380.
- 6. Ramsay J.G., Huber M.I. The techniques of modern structural geology. V.2. Folds and fractures. 1987. London: Acad.Press. P. 309–700.

## Геодинамическая позиция и минерагения Пудожгорского дифференцированного интрузива — нового рудно-формационного платиносодержащего титаномагнетитового типа

## Трофимов Н.Н., Голубев А.И.

Институт геологии КарНЦ РАН, г. Петрозаводск

Интрузив входит в состав Пудожгорского комплекса трапповой магматической формации, установленного на территории Карело-Кольского региона только в пределах бортов Онежской впадины. С ним известно еще два сила: Койкарско-Святнаволокский —в западном борту впадины, Габневский — в восточном. Для последнего Пудожгорский пластовый интрузив является подводящим каналом (рис.1). Геологический возраст интрузивов —людиковийский, радиологический U-Pb по циркону идентичен: 1984±8 — Пудожгорского; 1983,4±6,5 — Койкарско-Святнаволокского. Связанное с

ними благороднометальное Fe-Ti-V оруденение в других регионах не известно, что позволяет выделить новый рудно-формационный платиносодержащий титаномагнетитовый тип (или подтип), требующий углубленного исследования.

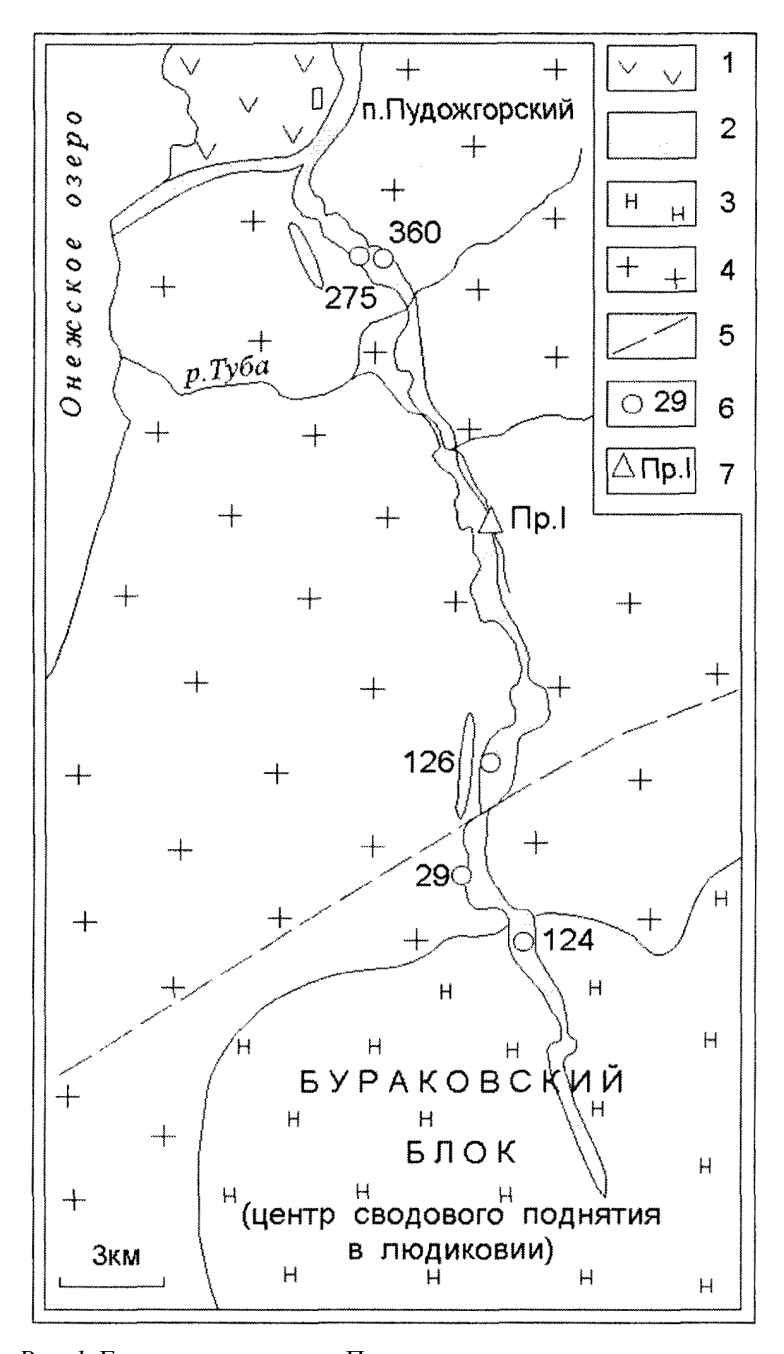


Рис. 1. Геологическая схема Пудожгорского пластового интрузива:

1 — вулканогенно-осадочные образования верхнего ятулия; 2 — Пудожгорский комплекс (интрузив и Габневский силл); 3 — Бураковский комплекс; 4 — граниты и гранито-гнейсы; 5 — тектонические нарушения; 6, 7 — №№ скважин и разрезов (пр. I) по которым изучался состав клинопироксона

Внедрение Пудожгорского интрузива обусловлено людиковийским этапом активизации трехлучевой Беломорско-Лапландской рифтогенной системы, на границе кратона и Русской плиты, и непосредственно связано с формированием сводового поднятия с центром — Бураковский блок Бураковского плутона и трапповым толеит-базальтовым магматизмом [1].

Интрузив выполняет один из лучей радиальной системы трещин, образующихся при круговом поднятии. Протяженность луча на СЗ от центра поднятия — 31км. Морфология интрузива в плане иллюстрирует классический пример кулисообразного смыкания трещин отрыва, образующихся в условиях растяжения [2].

Интрузив контрастно диффиренцирован (табл.). Средневзвешенный состав отвечает кварцевым монцодиоритам, что соответствует нижнему эндоконтакту. Мощность интрузива 120–140 м, залегание пологое –10–15°, простирание 320–340°, падение на ЮВ. Рудный горизонт приурочен к приподошвенной части и прослеживается на всем его протяжении.

Горизонт	Средняя мощность, м	Названия пород по [3]
Верхний эндоконтакт	3–5	Кварцевый монцодиорит
Такситовый	10	Кварцевый монцодиорит
Гранодиоритовый	35	Монцогранит-гранодиорит-кварцевый монцодиорит
Надрудный	10	Гранодиорит-кварцевый монцодолерит
Рудный	20–25	Титаномагнетитовые руды ( tmt>30%). Фоидсодержа-щий и
		фоидмонцодолерит
Подрудный	25	Титаномагнетитовый (10-20%) кварцевый монцодолерит
Нижний эндоконтакт	3_5	Крапиерый моннололерит

Таблица. Погоризонтный разрез интрузива

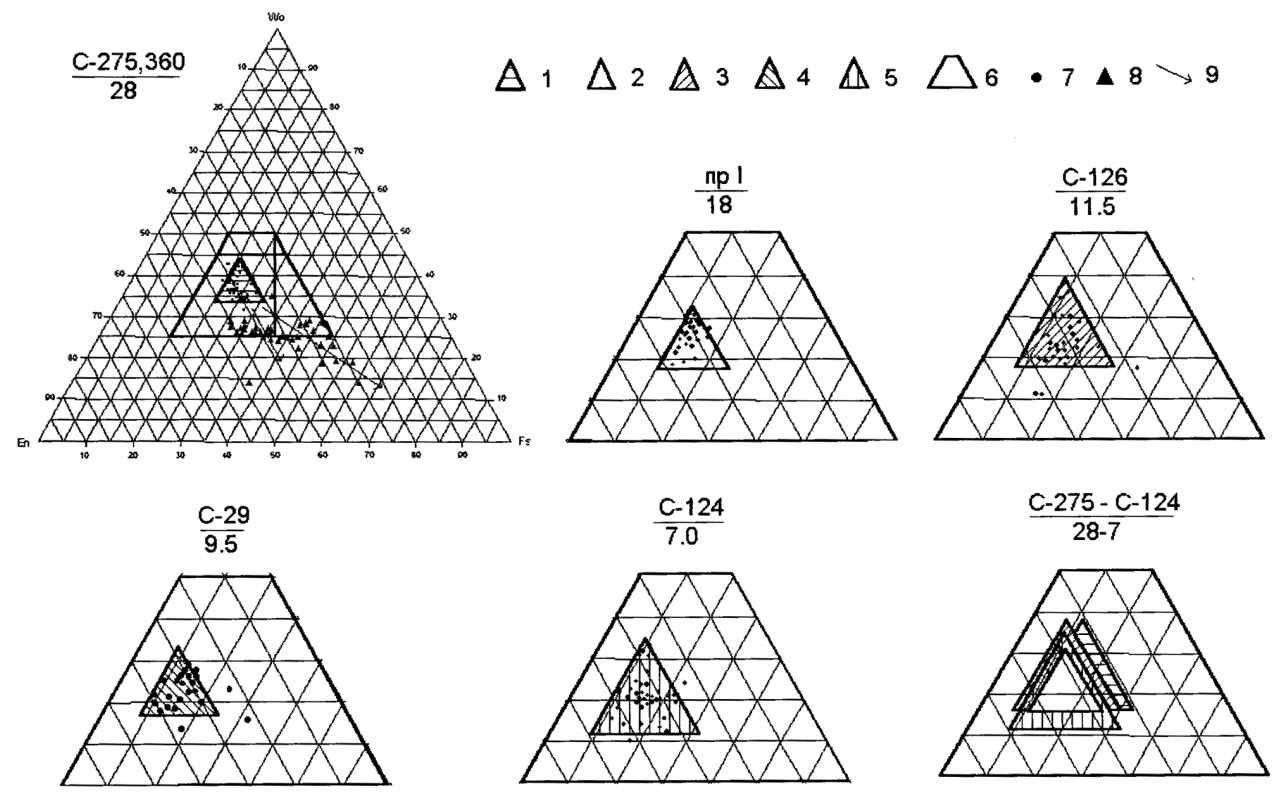


Рис. 2. Поля составов клинопироксена в разрезах габбровой зоны по простиранию Пудожгорского интрузива: 1 − C275,360; 2 − расчистки, профиль I; 3 − C126; 4 − C29; 4 − C124; 6 − положение врезок на диаграмме En-Wo-Fs. Состав клинопироксенов: 7 − свежих; 8 − слабо измененных − амфиболизированных; 9 − тренд изменения

Состав первичного парагенезиса главных породообразующих минералов долеритовых горизонтов простой и выдержанный в разрезе и по латерали:  $Pl_{50.73}$ , авгит и титаномагнетит. Состав авгита колеблется в узких пределах, с центром тяжести средневзвешенного состава  $En_{40}Wo_{37}Fs_{23}$  (рис.2). Скрытая расслоенность по авгиту слабо проявлена и устанавливается только при детальных качественных исследованиях. В разрезе интрузива отмечается уменьшение в авгитах энстатитового

минала от рудного горизонта к надрудному. Анализ клинопироксена по латерали на протяжении 21км в 5 пересечениях (рис.1) установил тенденцию увелечения энстатитового компонента от края сводового поднятия к центру (рис.2). В пересечении, где вмещающие породы являются габброноритами (С-124), в составе авгита падает доля волластонитового минала. Состав авгита нижней и верхней эндоконтактовых зон близок, но зависит от типа вмещающих пород (рис.3). Скрытая расслоенность по плагиоклазу в разрезе интрузива, четко проявлена. В такситовом и гранофировом горизонтах —альбит; в надрудном —альбит, олигоклаз, андезин, лабрадор № 50—57; в рудном и надрудном — лабрадор № 50—70 и в подчиненном количестве —андезин. Для такситового и гранофирового горизонтов характерно наличие натриевого и калиевого гранофира от 10 до 40%, клинопироксен отсутствует и кристаллизуются 2 генерации железистого амфибола —ферророговой обманки, ферроэденита и ферроактинолита, с высоким содержанием хлора — до 2.5%.

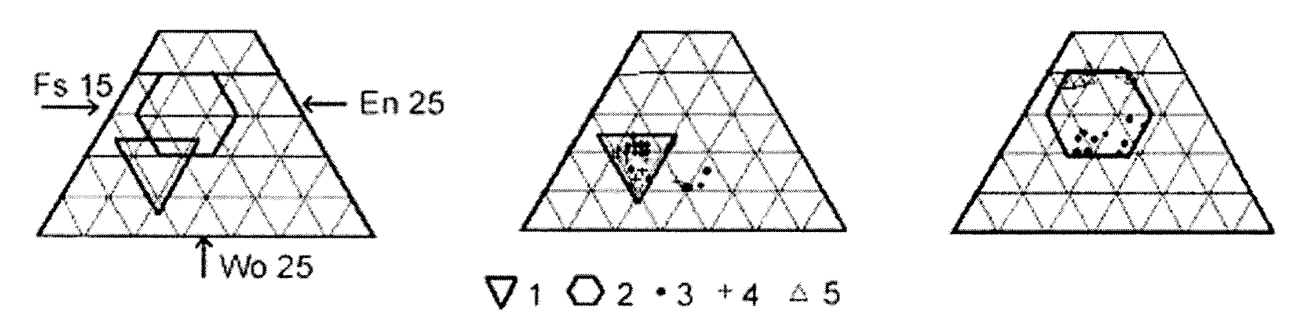


Рис. 3. Поля составов клинопироксена в эндоконтактах Пудожгорского интрузива:

1 – нижний; 2 – верхний; 3 – состав клинопироксена и тип вмещающих пород. Граниты: 3 – эндоконтакт; 4 – зона закалки. Габбронориты; 5 – эндоконтакт

Рудный горизонт имеет ликвационный генезис. Руды средне-,густовкрапленные, структура идиоморфнозернистая. Кристаллизация титаномагнетита происходила из переохлажденного расплава — структура распада ильменита в магнетитовой матрице субмикроскопического уровня и обнаруживается при увеличении 1000-5000х. По данным рентгеноспектрального анализа кристаллов титаномагнетитов, содержание в них  $TiO_2-17.3-21.6\%$ ,  $V2O5\ 1.3-1.87\%$ . Титаномагнетиты верхнего эндоконтактакта и такситового горизонта характеризуются более грубым распадом с обособлением тонких и весьма тонких пластин ильменита или укрупненных обособлений. В гранофировом горизонте присутствует только магнетит, а титаномагнетит псевдоморфно замещен силикатами или лейкоксенизирован.

Золото-платино-палладиевая минерализация размещается в рудном горизонте и контролируется сульфидным парагенезисом сру+bo, является автометасоматической и ассоциирует с наиболее поздним парагенезисом –биотит + ферроактинолит ± хлорит в сочетании с ильменитом –2, образующем с ними субграфические срастания. Суммарное содержание благородных элементов на всю мощность рудного горизонта не превышает 0,5 г/т, что с учетом ресурсов экономически рентабельно извлекаемых руд в 1млр.т, обеспечивает ресурсы БЭ в количестве 500т, а масштаб рудного процесса, связанного с людиковийской активизацией на площади сводового поднятия, видимо на порядок выше. Это позволяет прогнозировать здесь наличие суперкрупного месторождения (группы крупных месторождений) комплексных благороднометалльных руд.

## Литература

- 1. Голубев А.И., Трофимов Н.Н. Геодинамические условия формирования ультрамафит-мафитовых комплексов Карелии и перспективы их платитононосности //Ультрамафит-мафитовые комплексы складчатых областей докембрия. Материалы международной конференции. Улан-Удэ, 2005, с.11–13.
- 2. *Трофимов Н.Н., Голубев А.И.* Геодинамическая позиция и условия локализации дифференцированных базитовых и базит-гипербазитовых комплексов Карелии // Строение, геодинамика и минерагенические процессы в литосфере. Сыктывкар: Геопринт, 2005, с. 341–343.
- 3. Классификация магматических (изверженных) пород и словарь терминов. Рекомендации Подкомиссии по систематике изверженных пород Международного союза геологических наук. М.; Недра, 1997, 248 с.